

УДК 539.142.3

## МНОГОЧАСТИЧНЫЕ ВЗАИМОДЕЙСТВИЯ В ЯДЕРНОЙ МАТЕРИИ

© 2019 г. Е. Г. Друкарев<sup>1</sup>, М. Г. Рыскин<sup>1</sup>, В. А. Садовникова<sup>1, \*</sup>

<sup>1</sup>Федеральное государственное бюджетное учреждение “Петербургский институт ядерной физики имени Б.П. Константинова Национального исследовательского центра “Курчатовский институт”, Гатчина, Россия

\*E-mail: sadovnik@thd.pnpi.spb.ru

Поступила в редакцию 12.11.2018 г.

После доработки 08.04.2019 г.

Принята к публикации 27.05.2019 г.

Исследовано влияние трехнуклонных и четырехнуклонных сил на характеристики нуклона в симметричной ядерной материи с использованием метода сумм при конечной плотности. Подход, в рамках которого материя рассматривается как система нуклонов в “пионных шубах” (т.е. однопсионные и итерированные однопсионные обмены включаются в описание одночастичных состояний), позволяет получить строгую иерархию многочастичных сил.

DOI: 10.1134/S0367676519090047

### ВВЕДЕНИЕ

В этой работе мы продолжаем изложение наших результатов по исследованию многочастичных взаимодействий в ядерной материи. Используется метод правил сумм квантовой хромодинамики (КХД) при конечной плотности, основы которого описаны в обзоре [1] (о правилах сумм КХД в вакууме см. книгу [2]). В нашей предыдущей работе [3] мы приводим основные формулы, используемые при вычислениях. Напомним только, что метод основан на дисперсионных соотношениях для поляризационного оператора, описывающего распространение системы с квантовыми числами протона. В правой части дисперсионных соотношений мы выделяем нуклонный (протонный) полюс, соответствующий пробному нуклону, а высшие реальные состояния описываем континуумом с эффективным порогом  $W_m^2$ . Параметры нуклона в материи: эффективная масса  $m^*$  и векторная собственная энергия  $\Sigma_V$  являются решением системы уравнений.

$$\frac{\mathcal{L}^I(M^2, W_m^2)}{\mathcal{L}^q(M^2, W_m^2)} = m^*; \quad \frac{\mathcal{L}^P(M^2, W_m^2)}{\mathcal{L}^q(M^2, W_m^2)} = -\frac{\Sigma_V}{m}, \quad (1)$$

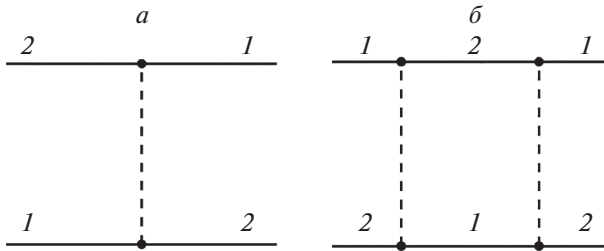
где  $m$  – масса свободного нуклона,  $\mathcal{L}^i$  ( $i = q, P, I$ ) – три структуры поляризационного оператора, подвергнутые преобразованию Бореля (см. формулу (6) в [3]).

Функции  $\mathcal{L}^i$  зависят от средних значений операторов КХД в ядерной материи, называемых конденсатами. Зная зависимость парамет-

ров конденсата от плотности среды  $\rho$ , мы можем, таким образом, найти зависимость от плотности характеристик пробного нуклона. Как и в случае вакуума, предполагается, что роль конденсатов уменьшается с увеличением их размерности. Поэтому наиболее важны векторный и скалярный конденсаты  $v(\rho) = \langle M | \sum_i \bar{q}^i \gamma_0 q^i | M \rangle$  и  $\kappa(\rho) = \langle M | \sum_i \bar{q}^i q^i | M \rangle$ . Здесь  $q^i$  – кварковые операторы, индекс  $i$  соответствует  $u$  и  $d$  кваркам,  $|M\rangle$  – основное состояние материи. Векторный конденсат записан в системе покоя материи.

Пока мы ограничиваемся конденсатами с  $d = 3$ , структуры  $\mathcal{L}^q$  и  $\mathcal{L}^P$  зависят от векторного конденсата и не зависят от  $\kappa(\rho)$ . В свою очередь  $\mathcal{L}^I$  зависит только от скалярного конденсата. Если пренебречь малым отличием величины порога  $W_m^2$  от вакуумного значения  $W_0^2$  [4], то два уравнения (1) становятся независимыми. В этом приближении векторная собственная энергия  $\Sigma_V$  не зависит от скалярного конденсата  $\kappa(\rho)$ . Поэтому в точном решении мы ожидаем слабой зависимости  $\Sigma_V$  от скалярного конденсата, в то время как эффективная масса  $m^*$  почти полностью им определяется.

Векторный конденсат легко вычисляется:  $v(q) = n_v \rho$ , где  $n_v$  – число валентных кварков в нуклоне ( $n_v = 3$ ). Однако нахождение скалярного конденсата требует модельных представлений для  $|M\rangle$ . Построению такой модели и посвящена настоящая работа.



**Рис. 1.** Фейнмановские диаграммы, описывающие однопионный (а) и итерированный однопионный (б) обмены между нуклонами материи 1 и 2. Сплошные линии соответствуют нуклонам, пунктирные – пионам.

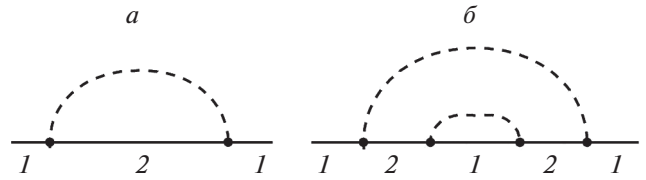
1. НУКЛОНЫ В “ПИОННЫХ ШУБАХ”

В качестве первого шага состояние  $|M\rangle$  обычно представляют как систему нерелятивистских не взаимодействующих нуклонов (газовое приближение). В этом случае отличие скалярного конденсата от вакуумного значения  $\kappa(0)$  определяется суммой вкладов отдельных нуклонов  $\kappa_N = \langle N | \sum_i \bar{q}^i q^i | N \rangle$ , где  $|N\rangle$  – вектор состояния свободного покоящегося нуклона. Этот матричный элемент просто выражается через нуклонный сигма-член  $\sigma_N$ , связанный с наблюдаемыми. Таким образом,

$$\begin{aligned} \kappa(\rho) &= \kappa(0) + \kappa_N \rho; \\ \kappa_N &= \langle N | \sum_i \bar{q} q | N \rangle = \frac{2\sigma_N}{m_u + m_d}, \end{aligned} \quad (2)$$

где  $m_{u,d}$  – массы легких кварков;  $\kappa(0) = \langle N | \sum_i \bar{q} q | N \rangle \approx 2(-240 \text{ МэВ})^3$  [2]. Обычно полагают  $\sigma_N = 45 \text{ МэВ}$ , однако, некоторые экспериментальные данные совместимы со значениями сигма-члена в интервале  $35 \leq \sigma_N \leq 70 \text{ МэВ}$ . Отметим, что структурам  $\mathcal{L}^i$  в газовом приближении соответствует пробный нуклон, взаимодействующий с каждым нуклоном среды по отдельности. То есть мы вычисляем характеристики пробного нуклона с учетом только двухчастичных взаимодействий.

На следующем этапе мы учитываем взаимодействие нуклонов в состоянии  $|M\rangle$ , предполагая, что оно происходит путем обмена мезонами. Нам нужно учесть вклад общего мезонного облака в конденсат  $\kappa(\rho)$ . Основная часть вклада определяется пионами [1]. Это связано с тем, что при разумных предположениях о виде кварковой волновой функции матричный элемент  $\langle h | \sum_i \bar{q} q | h \rangle$  представляет собой суммарное число кварков и антикварков  $n_{\bar{q}q}$  в адроне  $h$ . Поэтому для мезонов следует ожидать  $n_{\bar{q}q} = 2$ , в то время как для пионов



**Рис. 2.** Фейнмановские диаграммы, описывающие вклады в одночастичную собственную энергию нуклона 1 однопионного и итерированного однопионного обменов. По состояниям 2 производится суммирование. Рис. а соответствует диаграмме рис. 1а, рис. б – диаграмме рис. 1б. Обозначения те же, что на рис. 1.

$n_{\bar{q}q} = m_\pi / (m_u + m_d) \approx 12$ , что объясняется большим числом “морских” кварк-антикварковых пар.

Таким образом, нужно учесть вклад пионных взаимодействий в вектор состояния  $|M\rangle$ . Учету двухчастичных взаимодействий будет соответствовать учет трехчастичных взаимодействий в характеристиках пробного нуклона  $m^*$  и  $\Sigma_V$ . Включение трехчастичных взаимодействий в состоянии  $|M\rangle$  приведет к учету четырехчастичных взаимодействий в характеристиках нуклонов, и т.д. Вклады однопионного и двухпионных взаимодействий в скалярный конденсат вычислены в [5] с использованием киральной теории возмущений.

Заметим, что интерпретация однопионного взаимодействия не является однозначной. Обмен пионами между нуклонами среды с трехмерными импульсами  $p_1$  и  $p_2$  выражается фейнмановской диаграммой, изображенной на рис. 1а. Только обменный (фоковский) член дает ненулевой вклад. Прямой (хартриевский) член равен нулю, так как пион-нуклонная вершина пропорциональна импульсу, передаваемому пионом. Обычно этот вклад включается в двухчастичное взаимодействие. Однако он может быть представлен как собственная энергия нуклона в среде (см. рис. 2а). Диаграмма, изображенная на рис. 2а с интегрированием по трехмерному импульсу промежуточного нуклона  $p_2$  от 0 до  $\infty$ , уже учтена в одночастичной функции нуклона с импульсом  $p_1$ . Однако в среде состояния с импульсами  $p_2 < p_F$ , где  $p_F$  – импульс Ферми, заняты, и этот вклад необходимо вычесть. Интеграл по энергиям может быть выражен через вычет в полюсе нуклонного пропагатора, и вклад диаграммы рис. 2б соответствует диаграмме рис. 1а, просуммированной по всем импульсам  $p_2 < p_F$ . То же относится к итерированному однопионному обмену, описываемому диаграммой рис. 1б [6]. Ему соответствует диаграмма собственной энергии, изображенная на рис. 2б.

Если пренебречь всеми взаимодействиями, кроме однопионного и итерированного однопионного обменов, то получится система невзаимодействующих нуклонов, каждый из которых обладает своей “пионной шубой” (“квасисвободные нуклоны”). Для такой системы можно написать аналог формулы (2)

$$\kappa(\rho) = \kappa(0) + \hat{\kappa}(\rho), \quad (3)$$

где

$$\hat{\kappa}(\rho) = \kappa_N \rho + \kappa^{(1)}; \quad \kappa^{(1)} = \left\langle \pi \left| \sum_i \bar{q} q \right| \pi \right\rangle f^{(1)}(\rho). \quad (4)$$

Среднее значение по пиону обычно записывают как  $\left\langle \pi \left| \sum_i \bar{q} q \right| \pi \right\rangle = 2m_\pi m_\pi / (m_u + m_d)$ , где  $m_\pi$  – масса пиона. Множитель  $2m_\pi$  получается в результате выделения нормировочных факторов  $(2m_\pi)^{-1/2}$  в векторах состояний пионов. Функция  $f^{(1)}(\rho)$  может быть найдена как производная по  $m_\pi^2$  суммы плотностей энергий однопионного и итерированного однопионного обменов [5]. Последнее утверждение иллюстрируется диаграммой рис. 3. Более строгое доказательство основано на теореме Гельмана–Фейнмана (Hellman–Feynman). Появление “пионной шубы” заметно меняет величину  $\kappa_N(\rho)$ . Так, при  $\sigma_N = 45$  МэВ находим  $\kappa_N = 8.2$ . Записав  $\kappa^{(1)}(\rho) = \kappa_N^{(1)}(\rho) \rho$ , при феноменологическом значении равновесной плотности  $\rho_0 = 0.17$  фм<sup>-3</sup> получаем  $\hat{\kappa}_N(\rho) = 11.4$ .

Скалярный конденсат с учетом двухчастичных (2N) взаимодействий в состоянии  $|M\rangle$  в нашем представлении

$$\begin{aligned} \hat{\kappa}(\rho) &= \kappa_N \rho + \kappa^{(1)} + \kappa^{(2)}; \\ \kappa^{(2)} &= \left\langle \pi \left| \sum_i \bar{q} q \right| \pi \right\rangle f^{(2)}(\rho), \end{aligned} \quad (5)$$

где  $f^{(2)}(\rho)$  – производная по  $m_\pi^2$  – суммы плотностей энергий двухчастичных пионных обменов, не включающих однопионный и итерированный однопионный обмены [5]. Правила сумм с учетом 2N взаимодействий в скалярном конденсате определяют характеристики пробного нуклона с учетом 3N сил. Аналогично конденсат с учетом трехчастичных взаимодействий в состоянии  $|M\rangle$

$$\begin{aligned} \hat{\kappa}(\rho) &= \kappa_N \rho + \kappa^{(1)} + \kappa^{(2)} + \kappa^{(3)}; \\ \kappa^{(3)} &= \left\langle \pi \left| \sum_i \bar{q} q \right| \pi \right\rangle f^{(3)}(\rho). \end{aligned}$$

Правила сумм с таким конденсатом определяют характеристики пробного нуклона с учетом 4N сил.

Отметим, что в обычном (стандартном) представлении при учете многочастичных сил несколько механизмов дают большие, частично компенсирующиеся вклады в скалярный кон-

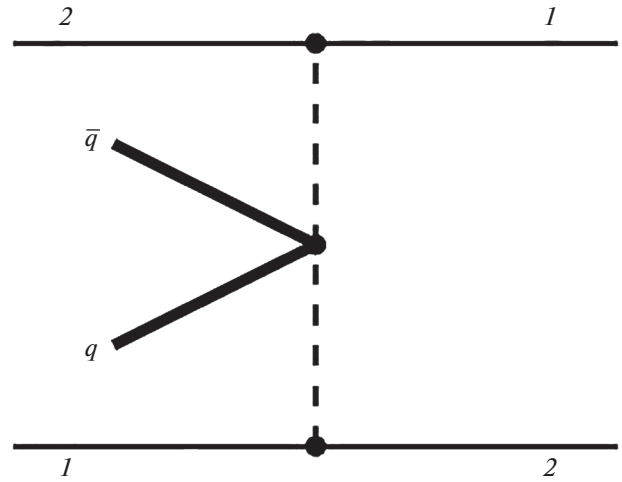


Рис. 3. Фейнмановская диаграмма, иллюстрирующая на примере однопионного обмена формулу (4). Жирные линии обозначают оператор  $\bar{q}q$ . Остальные обозначения такие же, как на рис. 1, 2.

денсат. В нашем представлении можно выделить один ведущий вклад – двухпионный обмен, содержащий  $\Delta$  – изобару в промежуточном состоянии.

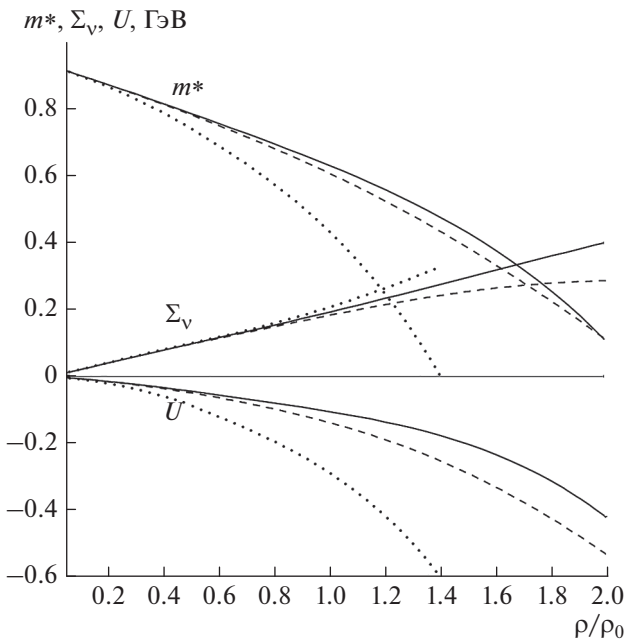
## 2. РЕЗУЛЬТАТЫ

Записав  $\kappa(\rho) = \kappa(0) + (\kappa_N^{(1)}(\rho) + \kappa_N^{(2)}(\rho) + \kappa_N^{(3)}(\rho)) \rho$ , где второе и третье слагаемые в скобках соответствуют учету 2N и 3N взаимодействий в состоянии  $|M\rangle$ , найдем, что  $\kappa_N^{(1)}(\rho) > \kappa_N^{(2)}(\rho) > \kappa_N^{(3)}(\rho)$ . Так как эффективная масса определяется в основном скалярным конденсатом, ожидаем получить строгую иерархию вкладов многочастичных сил в  $m^*$ . Векторная собственная энергия определяется в основном векторным конденсатом. Вклад в многочастичные силы дают также конфигурации четырехкварковых конденсатов ( $d = 6$ ), в которых две пары кварковых операторов действуют на два разных нуклона среды. При этом скалярно-скалярный конденсат, пропорциональный  $\hat{\kappa}^2$ , дает вклад в структуру  $\mathcal{L}^q$ , непосредственно влияя на величину  $\Sigma_V$ . Таким образом, мы предполагаем получить строгую иерархию и для вкладов в  $\Sigma_V$ .

Непосредственный расчет подтверждает эти оценки. Для  $\rho = \rho_0$  мы получаем  $m^* = 433$  МэВ при учете только 2N сил. Таким образом,  $\Sigma_S = m^* - m \approx -500$  МэВ, отличаясь почти на 150 МэВ от величины, получаемой в обычном представлении. Трехчастичные силы прибавляют к этой величине 174 МэВ, а 4N силы – еще 24 МэВ. Век-

**Таблица 1.** Зависимость нуклонных характеристик от плотности. Для каждого значения  $\rho/\rho_0$  верхняя строка показывает параметры пробного нуклона в системе нуклонов, одетых “пионными шубами” с учетом только  $2N$  сил. Вторая и третья строка соответствуют учету  $3N$  и  $4N$  сил

$\rho/\rho_0$	$m^*$ , МэВ	$\Sigma_V$ , МэВ	$U$ , МэВ
0.90	509	182	-237
	646	167	-116
	664	173	-92
0.95	472	195	-262
	627	175	-127
	648	182	-98
1.00	433	207	-288
	607	183	-138
	631	192	-105
1.05	392	221	-316
	587	191	-150
	613	202	-112
1.10	347	235	-347
	567	199	-162
	595	212	-129



**Рис. 4.** Зависимость от плотности эффективной нуклонной массы  $m^*$ , векторной собственной энергии  $\Sigma_V$  и одночастичного потенциала  $U$ . На горизонтальной оси отложено отношение плотности материи  $\rho$  к равновесной плотности  $\rho_0$ . Точечные кривые – расчет с учетом двухчастичных взаимодействий нуклонов материи; штриховые кривые – с учетом  $2N$  и  $3N$  взаимодействий; сплошные кривые – с учетом  $2N$ ,  $3N$  и  $4N$  взаимодействий.

торная собственная энергия  $\Sigma_V = 207$  МэВ при учете только  $2N$  сил. Учет  $3N$  сил уменьшает векторную собственную энергию на 24 МэВ, а включение  $4N$  сил увеличивает на 11 МэВ.

На рис. 4 приведена зависимость от плотности нуклонных параметров. Здесь же показана одночастичная потенциальная энергия  $U = \Sigma_S + \Sigma_V = m^* + \Sigma_V - m$ . Более детально вблизи равновесной плотности  $\rho_0$  эта зависимость приведена в табл. 1.

#### СПИСОК ЛИТЕРАТУРЫ

1. Drukarev E.G., Ryskin M.G., Sadovnikova V.A. // ЯФ. 2011. Т. 74. С. 1; Drukarev E.G., Ryskin M.G., Sadovnikova V.A. // Phys. Atom. Nucl. 2012. V. 75. P. 334.
2. Ioffe B.L., Lipatov L.N., Fadin V.S. Quantum chromodynamics. Cambridge: Cambridge Univ. Press, 2010. 596 p.
3. Друкaрев Е.Г., Рыскин М.Г., Садовникова В.А. // Изв. РАН. Сер. физ. 2017. Т. 81. С. 1334; Drukarev E.G., Ryskin M.G., Sadovnikova V.A. // Bull. Russ. Acad. Sci. Phys. 2017. V. 81. P. 1192.
4. Drukarev E.G., Ryskin M.G., Sadovnikova V.A. // Nucl. Phys. A. 2017. V. 959. P. 129.
5. Kaiser N., de Homont P., Weise W. // Phys. Rev. C. 2008. V. 77. Art. № 025204.
6. Kaiser N., Fritsch S., Weise W. // Nucl. Phys. A. 2002. V. 697. P. 255.